

Нуклон-нуклонное рассеяние на основе физической аналогии с динамикой вращения

B. Г. Ермилов

Институт общей физики РАН, Москва, Россия

Определены сечения, фазы и амплитуды упругого нуклон-нуклонного рассеяния через волновую ψ -функцию и ее производные. Проведено сравнение вычисленных величин с экспериментальными данными.

Преобразование уравнения Шредингера, когда потенциал $V = K \frac{\hbar^2}{2m} \psi''$ приводит к рассмотренному в [1] уравнению

$$\psi'' = -\frac{2}{r} \frac{\psi'}{1 - K\psi} + \frac{l(l+1)}{r^2} \frac{\psi}{1 - K\psi}. \quad (1)$$

Значения r , ψ' , ψ из уравнения (1) могут быть приняты для построения диаграмм рассеяния.

Представим ψ и ψ' как некоторый угол поворота и угловую скорость при перемотке гибкой нерастяжимой нити, которая, разматываясь по радиусу $r_0 = 1$, укладывается по некоторой линии, показанной на рис. 1 в виде спирали. Будем считать координатами этой линии изменяющийся полярный радиус R и его угол поворота ψ . Вращение в направлении ϕ происходит под действием момента M_ϕ , приложенного к полярному радиусу R . При этом по координате ϕ момент от силы, приложенной к нити, равен M_ψ . Уравнение движения такой системы по координате ϕ имеет вид

$$I_0 \ddot{\phi} = M_\phi,$$

где I_0 и $\ddot{\phi}$ — момент инерции и угловое ускорение тела вращения, соответственно.

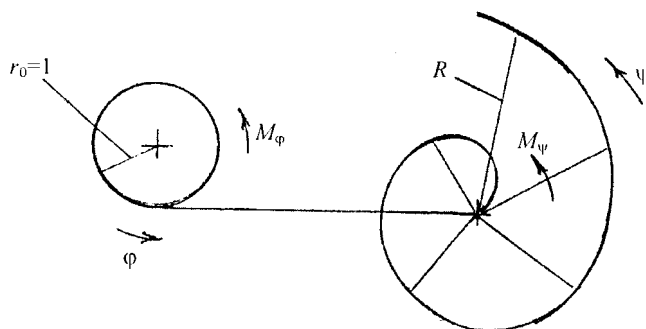


Рис. 1. Схема к физической аналогии

Если $I_0 = 1$, то будем иметь

$$\ddot{\phi} = M_\phi. \quad (2)$$

Уравнение движения системы может быть представлено как уравнение Лагранжа по обобщенной координате ψ .

$$I_n \ddot{\psi} + \frac{1}{2} \frac{dI_n}{d\psi} \dot{\psi}^2 = M_\psi. \quad (3)$$

Входящий в уравнение (3) приведенный момент инерции I_n определяется из условия

$$\frac{I_n \dot{\psi}^2}{2} = \frac{I_0 \dot{\phi}^2}{2}.$$

Учитывая, что $I_0 = 1$,

$$I_n = \frac{\dot{\phi}^2}{\dot{\psi}^2}. \quad (4)$$

Момент M_ϕ в уравнении (2) можно представить в виде

$$M_\phi = M_\psi \frac{\dot{\psi}}{\dot{\phi}}. \quad (5)$$

Для смотанной и уложенной по траектории конца полярного радиуса нити имеет место равенство длин

$$\int_0^\phi r_0 d\phi = \int_0^\psi \sqrt{R^2 + (dR/d\psi)^2} d\psi$$

$$\text{или } \phi = \int_0^\psi \sqrt{R^2 + R'^2} d\psi, \quad (6)$$

поскольку $r_0 = 1$.

Дифференцируя по времени (6), получим

$$\dot{\phi} = \sqrt{R^2 + R'^2} \dot{\psi}. \quad (7)$$

Подставив (7) в (4) и (5), получим

$$I_n = R^2 + R'^2; \quad (8)$$

$$M_\phi = \frac{M_\psi}{\sqrt{R^2 + R'^2}}. \quad (9)$$

После подстановки (9) в (2) совместно с (8) получим

$$\left\{ \begin{array}{l} \ddot{\phi} = \frac{M_\psi}{\sqrt{R^2 + R'^2}}, \\ \dot{\phi} = \sqrt{R^2 + R'^2} \dot{\psi}. \end{array} \right. \quad (10)$$

$$\left\{ \begin{array}{l} \ddot{\phi} = \frac{M_\psi}{\sqrt{R^2 + R'^2}}, \\ \dot{\phi} = \sqrt{R^2 + R'^2} \dot{\psi}. \end{array} \right. \quad (11)$$

Возьмем теперь для уравнения (1) $I_n = r^2 + r'^2$, тогда согласно (11) имеем

$$\varphi' = \sqrt{r^2 + r'^2} \psi' = \sqrt{r^2 \psi'^2 + 1}, \quad (12)$$

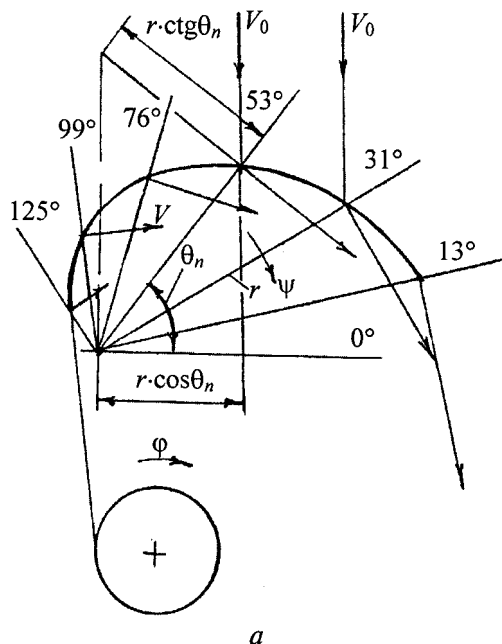
где штрихи относятся к производным по r .

Выражение (12) определяет некоторый аналог скорости V_s вдоль спирали на рис. 2, а.

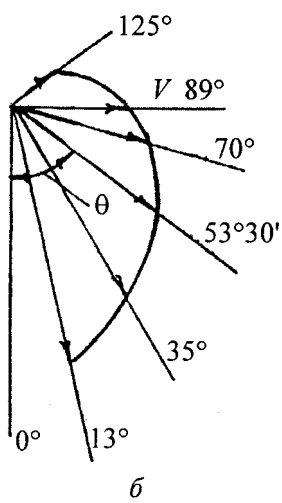
$$V_s = \sqrt{r^2 \psi'^2 + 1}$$

с тангенциальной составляющей

$$V^\tau = r\psi'. \quad (13)$$



а



б

Рис. 2. Диаграммы нуклон-нуклонного рассеяния:
а — при расчете через ψ' и ψ ; б — при упругом рассеянии

Уравнения (10) и (11) приемлемы также с производными по r , так что можно перейти от V^τ к обычной скорости V в представлении, когда скорость V равна скорости нуклон-нуклонного рассеяния. Движению со скоростью V соответствует релятивистская масса

$$m = \frac{m_0}{\sqrt{1 - \frac{V^2}{c^2}}}. \quad (14)$$

Если при нуклон-нуклонном рассеянии первоначальная энергия нуклона равна E , например $E = 250$ МэВ, то масса падающего нуклона определится согласно формуле

$$(m - m_0) C^2 = 250 \cdot 1,6 \cdot 10^{-6} \text{ эрг},$$

где $m_0 = 1,67 \cdot 10^{-24}$ г — масса покоя нуклона, и после подстановки в (14) получим

$$V = 0,613 C.$$

Для $l = 5$, соответственно, $r = 3 \text{ ф}$ (ф — диаметр нуклона) и $E = 250$ МэВ производная $\psi' = 256 \frac{1}{10^{-13}} = 256 \cdot 10^{13} \frac{1}{\text{см}}$ (ф — диаметр нуклона). С учетом $V = 0,613 C$ делаем пересчет на эту скорость частицы для $r = 3 \text{ ф}$ согласно (13)

$$V^\tau = 3 \cdot 10^{-13} \times 256 \cdot 10^{13} = 768.$$

Используя масштаб μ , имеем

$$\mu V = V^\tau, \quad (15)$$

$$\text{где } \mu = \frac{768}{0,613 \times 3 \cdot 10^{10}} = 417,6 \cdot 10^{-10} \frac{\text{см}}{\text{с}}.$$

Для $r = 0,5 \text{ ф}$ получим

$$V^\tau = 0,5 \cdot 10^{-13} \times 297 \cdot 10^{13} = 148,5.$$

Скорость нуклона после рассеяния согласно (15) будет равна

$$V = \frac{V^\tau}{\mu} = \frac{148,5}{417,6 \cdot 10^{-10}} = 0,356 \cdot 10^{-10} \text{ см/с}.$$

Масса нуклона при этой скорости согласно (14) равна

$$m_1 = \frac{1,67 \cdot 10^{-24}}{\sqrt{1 - \left(\frac{0,356}{3}\right)^2}} = 1,682 \cdot 10^{-24} \text{ г}.$$

Согласно общему определению энергии

$$T = (m - m_0) C^2.$$

Отсюда энергия рассеянного нуклона при переходе будет

$$T_p = \frac{(1,682 - 1,67) \cdot 10^{-24} \cdot 9 \cdot 10^{20}}{1,6 \cdot 10^{-6}} = 6,75 \text{ МэВ}.$$

Энергия нуклона отдачи равна

$$T_0 = E - T_p = 250 - 6,75 = 243,25 \text{ МэВ}.$$

Масса нуклона отдачи равна, соответственно.

$$m_2 = \frac{T_0 \cdot 1,6 \cdot 10^{-6}}{C^2} + m_0.$$

$$m_2 = T_0 \cdot 0,1777 \cdot 10^{-26} + 1,67 \cdot 10^{-24} = 2,102 \cdot 10^{-24} \text{ г.}$$

Углы отдачи α и рассеяния θ нуклонов с массой m_2 и m_1 в лабораторной системе координат связаны соотношениями

$$\cos 2\alpha = \frac{T_0(m_1 + m_2)^2}{2Em_1m_2} - 1;$$

$$\operatorname{tg} \theta = \frac{\sin 2\alpha}{\frac{m_1}{m_2} - \cos 2\alpha}. \quad (16)$$

Как сказано выше, уравнение (1) может быть взято применительно к системе, показанной на рис. 1.

Параметр ψ из уравнения (1) можно интерпретировать как угол в радианах. Углы ψ могут быть те же, что и углы θ согласно формуле (16). Это определит R как r , и, таким образом, уравнение (1) будет представлено как уравнение для системы на рис. 1. Радиус r берется равным от 0,5 до 3 ф.

На рис. 3 показаны зависимости углов рассеяния $\psi = \theta_n$ и θ от расстояния r между нуклонами. Совпадение θ_n и θ указывает на то, что рассеяние можно представить по схеме на рис. 1, и все данные для такого построения можно получить из уравнения (1). На рис. 2 показаны диаграммы нуклон-нуклонного рассеяния по углам θ_n и θ . На рис. 2, а дана зависимость $\theta_n(r)$ в полярных координатах и на концах r -векторы скоростей согласно (13) и затем (15), когда через масштаб μ можно переходить к скоростям рассеяния для углов θ_n . Эти же скорости рассеяния, определяющие соответствующую энергию рассеяния с использованием формул упругого рассеяния, т. е. иной методики, дают те же углы рассеяния $\theta = \theta_n$. Диаграмма $I(\theta)$ такого упругого рассеяния представлена на рис. 2, б.

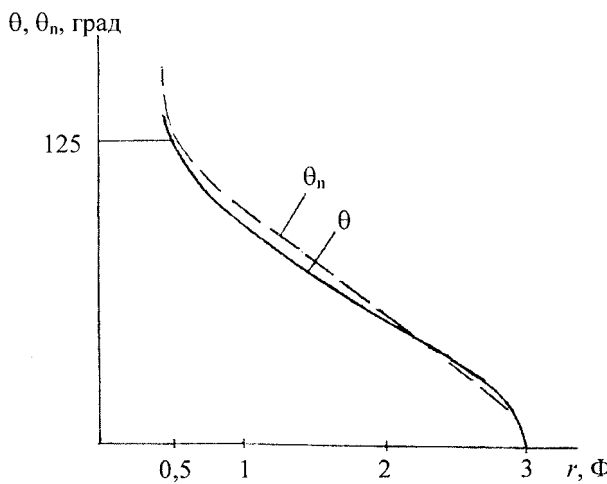


Рис. 3. Сравнение углов рассеяния θ и θ_n

Скорости V (см. рис. 2, а) могут быть использованы при определении дифференциального сечения рассеяния, т. е. имеем

$$d\sigma = \frac{N_p}{N_0} r^2 \operatorname{ctg}^2 \theta_n d\Omega, \quad (17)$$

где N_p и N_0 — плотность потока рассеянных и налетающих частиц; $r^2 \operatorname{ctg}^2 \theta_n d\Omega$ — элемент поверхности радиуса $r \operatorname{ctg} \theta_n$ по телесному углу.

$$d\Omega = 2\pi \sin \theta_n d\theta_n, \quad (18)$$

где θ_n — угол рассеяния (см. рис. 2, а), соответствующий значению r в пределах 0,5—3 ф.

Обозначим плотность потока рассеянных частиц с радиусом R наблюдения до рассеивающего центра как N'_p . Поскольку число рассеянных частиц в телесный угол (18) при любых значениях радиуса рассеяния одно и то же, можно записать

$$N_p r^2 \operatorname{ctg}^2 \theta_n d\Omega = N'_p R^2 d\Omega,$$

откуда плотность потока рассеяния на радиусе R равна

$$N'_p = N_p \frac{r^2}{R^2} \operatorname{ctg}^2 \theta_n. \quad (19)$$

Плотности потоков падающих частиц и частиц, рассеянных на радиусе r (см. рис. 2, а), равны, соответственно, $N_0 = V_0$ и $N_p = V$, где V_0 и V — скорости этих частиц.

Согласно (19) имеем:

$$N'_p = V \frac{r^2}{R^2} \operatorname{ctg}^2 \theta_n; \quad (20)$$

$$N_p = N'_p \frac{R^2}{r^2 \operatorname{ctg}^2 \theta_n}. \quad (21)$$

После подстановки (21), $N_0 = V_0$ в (17) и (20) — в (22), получим

$$d\sigma = \frac{N'_p}{V_0} R^2 d\Omega; \quad (22)$$

$$d\sigma = \frac{V}{V_0} r^2 \operatorname{ctg}^2 \theta_n d\Omega. \quad (23)$$

Здесь дифференциальное сечение рассеяния не связано с определением потока рассеяния N_p , входящего в (17), но определяется с помощью вычисленных значений скоростей V рассеяния на углы θ_n при известной скорости падающих частиц V_0 .

Через скорость V рассеяния также может быть вычислена амплитуда рассеяния f , когда

$$d\sigma = |f(\theta)|^2 d\Omega.$$

Отсюда, используя (23), получим

$$|f(\theta)|^2 = \frac{V}{V_0} r^2 \operatorname{ctg}^2 \theta_n.$$

Сечение рассеяния σ_l для каждого из l через фазу рассеяния δ_l равно

$$\sigma_l = 4\pi\lambda^2(2l+1)\sin^2\delta_l. \quad (24)$$

Для $l = 5$, когда $E = 250$ МэВ, имеем

$$\lambda = \frac{9 \cdot 10^{-13}}{\sqrt{E}} = 0,57 \text{ ф.}$$

Согласно (23) также получим

$$d\sigma = \frac{V}{V_0} 2\pi r^2 \operatorname{ctg}^2\theta_n \sin\theta_n d\theta_n. \quad (25)$$

Определим значения r на рис. 2, а через $\lambda = 0,57$ ф соответственно расстоянию между цилиндрическими зонами, на которые разделяется поток частиц, падающих со скоростью V_0 . В этом случае r определится из условия $r \cos\theta_n = l\lambda$, где l берется равным от 1 до 5. Отсюда получим

$$r = \frac{l\lambda}{\cos\theta_n}.$$

Как видно на рис. 3, зависимость $\theta_n(r)$ между $r = 0,5$ ф и $r = 2,9$ ф близка к линейной.

$$r = \frac{l\lambda}{\cos(2,585 - 0,812r)}. \quad (26)$$

Из (26) найдем ряд значений r соответствен-но $l\lambda$ (табл. 1).

Таблица 1

$l\lambda$	0,57	1,14	1,71	2,28	2,85
r	0,5–1,68	1,68–2	2–2,29	2,29–2,58	2,58–2,9

В выражении (25) для дифференциального сечения рассеяния можно принять

$$\frac{V}{V_0} = \frac{V^\tau}{V_0^\tau} = \frac{r}{r_k}, \text{ поскольку } V^\tau \text{ и } V_0^\tau \text{ определяются}$$

согласно (13), когда производная $\psi'(r)$ изменяется незначительно.

$$d\sigma = \frac{r}{r_k} 2\pi r^2 \operatorname{ctg}^2\theta_n \sin\theta_n d\theta_n,$$

где значение r берется из табл. 1 (от $r = 0,5$ ф до $r = 2,9$ ф).

$$d\sigma = \frac{2\pi}{2,9} \left(\frac{2,585 - \theta_n}{0,812} \right)^3 \operatorname{ctg}^2\theta_n \sin\theta_n d\theta_n. \quad (27)$$

Интегрируя выражение (27) в пределах r , из табл. 1 получим парциальные сечения рассеяния, соответственно, $0,57 l$.

Для интегрального сечения рассеяния через фазы δ_l также имеем

$$\sigma = 4\pi\lambda^2 \sum_{l=0}^5 (2l+1) \sin^2\delta_l; \quad (28)$$

$$(\sigma_l)_{\max} = 4\pi\lambda^2(2l+1). \quad (29)$$

Определим парциальные сечения рассеяния $(\sigma_l)_{\max}$, когда в (28) $\sin^2\delta_l = 1$. Определим парциальные сечения σ_l согласно (27) для r , равного от 0,5 до 2,9 ф, когда пределы интегрирования берутся из табл. 1, соответственно, l от 1 до 5. После деления (24) на $(\sigma_l)_{\max}$ согласно (29) получим

$$\sin^2\delta_l = \frac{\sigma_l}{(\sigma_l)_{\max}}.$$

Значения сечений рассеяния в единицах 10^{-26} см^2 и фаз рассеяния приведены в табл. 2.

Таблица 2

l	1	2	3	4	5
$r, \text{ ф}$	0,5–1,68	1,68–2	2–2,29	2,29–2,58	2,58–2,9
σ_l	0,234	0,990	3,322	9,584	32,920
$(\sigma_l)_{\max}$	12,248	20,414	28,580	36,745	44,911
δ_l	$7^\circ 57'$	$12^\circ 43'$	$19^\circ 56'$	$30^\circ 43'$	$58^\circ 53'$

Проведенные преобразования позволяют получить углы рассеяния, выраженные через волновую ψ -функцию, а скорости рассеяния — через ее производную ψ' . Значения скоростей рассеяния в зависимости от углов будут определять сечения, фазы и амплитуды рассеяния при соответствующих квантовых числах l .

Если сослаться на результаты эксперимента в [2], то полученные сечения и фазы рассеяния не расходятся с экспериментальными значениями.

Так, в [2] приводятся экспериментальные величины соответственно радиуса взаимодействия $r = 1,7 \cdot 10^{-13}$ см с сечением $2,738 \cdot 10^{-27} \text{ см}^2$ и фазами рассеяния в зоне преимущественно до 27° , что качественно правильно описывает взаимодействие нуклонов при низких энергиях.

В табл. 2 приводятся исходные данные и результаты расчета для энергии 250 МэВ по парциальным зонам от $l = 1$ до $l = 5$, и для каждой из зон будет своя скорость рассеяния $V \sim r\psi'$, как представлено на рис. 2, а. Если взять радиус взаимодействия, как в эксперименте в [2] до $r = 2,9$ ф, $l = 1$ и $l = 2$, то, соответственно, имеем $\sigma_l = 2,34 \cdot 10^{-27} \text{ см}^2$ и $\sigma_l = 9,9 \cdot 10^{-27} \text{ см}^2$, а фазы $\delta_l = 7^\circ 57'$ и $12^\circ 43'$. В этом случае также нет качественного расхождения значений с экспериментальными.

Л и т е р а т у р а

1. Ермилов В. Г./Прикладная физика. 2003. № 2. С. 18.
2. Рухадзе А. А./Письма в ЖЭТФ. 1958. № 4. С. 511, 512.

The nucleon-nucleon dispersion on basis of the physical analog with dynamic of rotation

V. G. Ermilov

General Physics Institute, Moscow, Russia

The crosssections, phases and amplitudes of elastic nucleon-nucleon scattering are determined in terms of wavy ψ -function and its derivatives. Comparison of the calculations with experimental results is made.

УДК 530.18:531.12

Вывод уравнений электромагнитного поля, порождаемого магнитными моментами

B. E. Домрачев

ГП «Научно-исследовательский институт "Гелий"», г. Винница, Украина

При применении математического формализма общей теории относительности к электродинамике в линеаризованном варианте теории при учете вращения отдельных зарядов получаются две системы линейных уравнений поля. Первая система соответствует уравнениям электромагнитного поля, порожденного электрическими зарядами, и совпадает с уравнениями Максвелла, постулируемыми в электродинамике. Вторая система соответствует уравнениям электромагнитного поля, порожденного магнитными моментами. Причем эти уравнения являются независимыми от уравнений Максвелла и равноправными с ними.

Известно, что электромагнитные поля, порождаемые электрическими зарядами, описываются в общем случае (в рамках линейной теории) уравнениями Максвелла. При этом возникает проблема по отысканию аналогичных уравнений, описывающих в общем случае электромагнитные поля, порождаемые магнитными моментами. Причем изначально неясно, будут ли это отдельные уравнения или же требуется такое обобщение уравнений Максвелла, чтобы в них равноправно, наряду с электрическими зарядами, входили и магнитные моменты этих зарядов. Поиску ответов на поставленные вопросы и посвящена предлагаемая статья, где получены уравнения электромагнитного поля, порожденного магнитными моментами.

Ранее были получены следующие линеаризованные уравнения электромагнитного поля

$$\square A_i = -\frac{4\pi}{c} \left(\frac{\tilde{G}}{c} \tilde{T}_{ik} u^k \right), \quad i, k = 0, 1, 2, 3, \quad (1)$$

где \square — оператор Д'Аламбера;

\tilde{T}_{ik} — компоненты тензора энергии импульса электрических зарядов;

\tilde{G} — введенная в работе электромагнитная постоянная;

u^k — 4-мерный вектор скорости зарядов источников поля;
 c — скорость света.

Компоненты 4-мерного потенциала электромагнитного поля выражаются через малые добавки \tilde{h}_{ik} к метрическому тензору пространства Минковского

$$A_i = \left(\frac{2\tilde{G}}{c} \tilde{h}_{00}, \frac{\tilde{G}}{c} \tilde{h}_{0\alpha} \right), \quad \alpha, \beta = 1, 2, 3. \quad (2)$$

Нашей задачей является вывод уравнений электромагнитного поля (1) для случая, когда поле создается совокупностью свободных электрических зарядов, каждый из которых к тому же вращается. Такими зарядами могут быть, к примеру, электроны, характеризуемые двумя независимыми электрическими характеристиками: электрическим зарядом и магнитным моментом.

Уравнения электромагнитного поля (1) по форме совпадают с уравнениями запаздывающих потенциалов. Поэтому общее решение уравнений (1) можно записать в виде

$$A_i = \frac{1}{c} \int \frac{[\tilde{G}/c \cdot \tilde{T}_{ik} u^k]}{R} dV', \quad (3)$$

где квадратные скобки в подынтегральном выражении означают, что заключенное в них берется в момент времени $t = R/c$, причем